

ISSN 0514—7506

Ж  
У  
Р  
И  
А  
Н

ПРИКЛАДНОЙ  
СПЕКТРОСКОПИИ

JOURNAL  
OF APPLIED  
SPECTROSCOPY

<http://imaph.bas-net.by/JAS>

4

ИЮЛЬ — АВГУСТ  
2012

ТОМ 79

## СТРУКТУРА И ЛЮМИНЕСЦЕНЦИЯ МИКРОПОРОШКА КУБИЧЕСКОГО НИТРИДА БОРА, СОДЕРЖАЩЕГО ИОНЫ ГАДОЛИНИЯ

С. В. Леончик\*, А. В. Короткий

УДК 535.37:(546.27+546.662)

Научно-практический центр НАН Беларусь по материаловедению,  
220072, Минск, ул. П. Бровки, 19; e-mail: Leonchik@physics.by

(Поступила 2 декабря 2011)

С использованием методов рентгеновской дифракции, электронно-зондового энергодисперсионного микроанализа (рентгеноспектрального микроанализа) и фотолюминесценции исследованы структурные характеристики, химические, морфологические и оптические свойства микропорошков *cBN* и *cBN:Gd*. Микропорошки кубического нитрида бора (*cBN*) синтезированы при высоких давлениях и температурах на основе микропорошка гексагонального нитрида бора (*hBN*) и катализатора  $Li_3N$ . Микропорошки *cBN:Gd* синтезированы на основе смеси микропорошков *hBN*,  $Li_3N$  и  $GdF_3$ . Для обоих типов микропорошков *cBN* и *cBN:Gd* рассчитанное значение постоянной решетки  $a \sim 3.615 \text{ \AA}$ . Установлено, что спектры фотолюминесценции микропорошка *cBN:Gd* содержат линии излучения, связанные с внутрицентровыми оптическими переходами ионов  $Gd^{3+}$ .

**Ключевые слова:** кубический нитрид бора, микропорошок, рентгеноспектральный микроанализ, люминесценция, гадолиний.

*Structural characteristics and chemical, morphological, and optical properties of *cBN* (cubic boron nitride) and *cBN:Gd* micropowders were investigated using X-ray diffraction, energy-dispersive microanalysis, and photoluminescence methods. The *cBN* micropowders were synthesized under high pressure and temperature conditions from a hexagonal boron nitride (*hBN*) micropowder and an  $Li_3N$  catalyst. The *cBN:Gd* micropowders were synthesized from a mixture of the *hBN*,  $Li_3N$ , and  $GdF_3$  micropowders. A lattice parameter value was calculated to be  $\sim 3.615 \text{ \AA}$  for both types of the micropowders (*cBN* and *cBN:Gd*). It is found that the photoluminescence spectra of the *cBN:Gd* micropowder contain characteristic emission broad lines attributed to the  $Gd^{3+}$  intracenter optical transitions.*

**Keywords:** cubic boron nitride, micropowder, X-ray microanalysis, luminescence, gadolinium.

**Введение.** На современном этапе развития полупроводниковой оптоэлектроники существует необходимость создания высокоэффективных светоизлучающих структур для УФ области спектра (200—350 нм). Для этих целей наиболее подходит нитрид алюминия (AlN) как полупроводник, обладающий прямозонной энергетической структурой с шириной запрещенной зоны  $E_g \sim 6.2$  эВ при комнатной температуре [1, 2]. В дополнение к этому AlN обладает высокой твердостью и теплопроводностью, а также химической стойкостью [1]. Установлено [3—5], что легирование тонких пленок полупроводниковых соединений AlN ионами  $^{157}Gd^+$  при комнатной температуре с последующим высокотемпературным отжигом при  $1100^\circ\text{C}$  приводит к появлению интенсивной люминесценции в УФ области спектра ( $\sim 250$ — $320$  нм). Эти эксперименты продемонстрировали возможность получения высокоэффективной люминесценции в прямозонном полупроводниковом соединении AlN на внутрицентровых 4f-электронных переходах трехвалентных редкоземельных (РЗ) ионов  $Gd^{3+}$  в области 318 нм [5].

Высокой твердостью и теплопроводностью, термической и химической стойкостью обладает также другое нитридное полупроводниковое соединение — кубический нитрид бора (*cBN*), имеющий большую, чем AlN, ширину запрещенной зоны ( $E_g \sim 6.4$  эВ) при комнатной температуре [6]. Однако *cBN* имеет не-прямозонную энергетическую структуру и, как следствие, более низкую вероятность излучательной рекомбинации в области края фундаментального поглощения по сравнению с AlN [6]. Достигнутый в по-

## STRUCTURE AND LUMINESCENCE OF A CUBIC BORON NITRIDE MICROPOWDER WITH GADOLINIUM IONS

S. V. Leonchik\* and A. V. Karotki (Scientific-Practical Materials Research Centre, National Academy of Sciences of Belarus, 19 P. Brovka Str., Minsk, 220072, Belarus; e-mail: Leonchik@physics.by)

следние годы прогресс в выращивании крупных (~3 мм) прозрачных монокристаллов сВН, в том числе легированных РЗ ионами  $\text{Eu}^{3+}$  и  $\text{Tb}^{3+}$  [7], указывает на возможность использования этого материала для достижения эффективной люминесценции не только в видимой области спектра, но и в УФ диапазоне при легировании его РЗ ионами, в частности  $\text{Gd}^{3+}$ . В настоящей работе приведены новые данные по синтезу и исследованию структурных, физико-химических и оптических свойств микропорошков сВН, полученных с добавлением в реакционную шихту Gd-содержащего соединения.

**Методика эксперимента.** Микропорошки кубического нитрида бора (эталонные) с размерами зерен 0.2—5.0 мкм синтезированы на основе микропорошков гексагонального нитрида бора в присутствии катализатора  $\text{Li}_3\text{N}$ . Для синтеза микропорошков сВН:Gd дополнительно в реакционную шихту добавлялся микропорошок  $\text{GdF}_3$ , количество которого варьировалось от 1 до 10 мас. %. Синтез микропорошков сВН и сВН:Gd осуществлялся в камере высокого давления типа “тороид” при давлениях  $P \sim 3.5$ —4.5 ГПа и температурах  $T \sim 1500$ —1700 °C в течение ~20—120 с. После синтеза проводилась поэтапная химическая обработка с целью выделения микропорошков из продуктов синтеза, включающая в себя окислительный отжиг в расплаве щелочей и травление в концентрированной соляной кислоте.

Рентгенофазовый анализ микропорошков проводился в  $\text{CuK}_{\alpha}$ -излучении на дифрактометре ДРОН-3 с графитовым монохроматором. Рентгенограммы регистрировались при комнатной температуре в интервале углов дифракции  $2\theta = 40$ —140°, в режиме сканирования с шагом 0.02° и временем накопления сигнала 2 с. Определение постоянной решетки и уточнение структурных параметров осуществлялись по стандартным формулам [8] и методу полнопрофильного анализа Ритвельда с использованием программы FullProf [9].

Морфологические особенности поверхности отдельных микрокристаллитов сВН:Gd исследовались методом электронно-зондового микроанализа на сканирующем электронном микроскопе Mira (Tescan, Чехия) с разрешением 1.3 нм, оснащенном системой рентгеновского микроанализа INCA Energy 350 (Oxford Instruments Analytical, Великобритания). Спектры фотолюминесценции (ФЛ) регистрировались с использованием микрорамановского спектрометра Renishaw-1000 со спектральным разрешением  $\sim 2 \text{ см}^{-1}$ . Возбуждение ФЛ осуществлялось аргоновым лазером ( $\lambda_{\text{в}} = 244 \text{ нм}$ , двухфотонный режим). В качестве детектора оптических сигналов использовался прибор с зарядовой связью (ПЗС) на основе кремния с повышенной чувствительностью в УФ диапазоне.

**Результаты и их обсуждение.** На рис. 1 приведена рентгенограмма эталонного микропорошка сВН в интервале углов дифракции  $2\theta = 40$ —140° и (для сравнения) контуры отдельных дифракционных линий микропорошков сВН и сВН:Gd. На рентгенограмме микропорошка сВН присутствуют основные линии дифракции 111, 200, 220, 311, 400 и 331, характерные для фазы кубического нитрида бора [10]. Эксперименты показывают, что угловое положение дифракционных линий микропорошка сВН:Gd в области больших углов  $2\theta$  находится в пределах ошибки измерений  $\pm 0.03^\circ$  и не превышает соответствующего разброса положения дифракционных линий эталонных микропорошков сВН (измерено более пяти образцов). Значение постоянной решетки, определенное с использованием обычного подхода на основании уравнения Брэгга и метода полнопрофильного анализа Ритвельда [8, 9], составило  $a = 3.5150 \pm 0.0004 \text{ \AA}$  для микропорошков обоих типов. Это означает, что добавление в реакционную шихту до 10 мас. %  $\text{GdF}_3$  не влияет на изменение постоянной решетки сВН:Gd. Поэтому на основании рентгенодифракционных измерений и определения постоянной решетки невозможно однозначно утверждать о вхождении атомов Gd в кристаллическую решетку сВН. По данным вторичной ионной масс-спектрометрии, концентрация РЗ ионов, в частности  $\text{Eu}^{3+}$  и  $\text{Tb}^{3+}$ , в кристаллической матрице крупных монокристаллов сВН (~3 мм) составляет

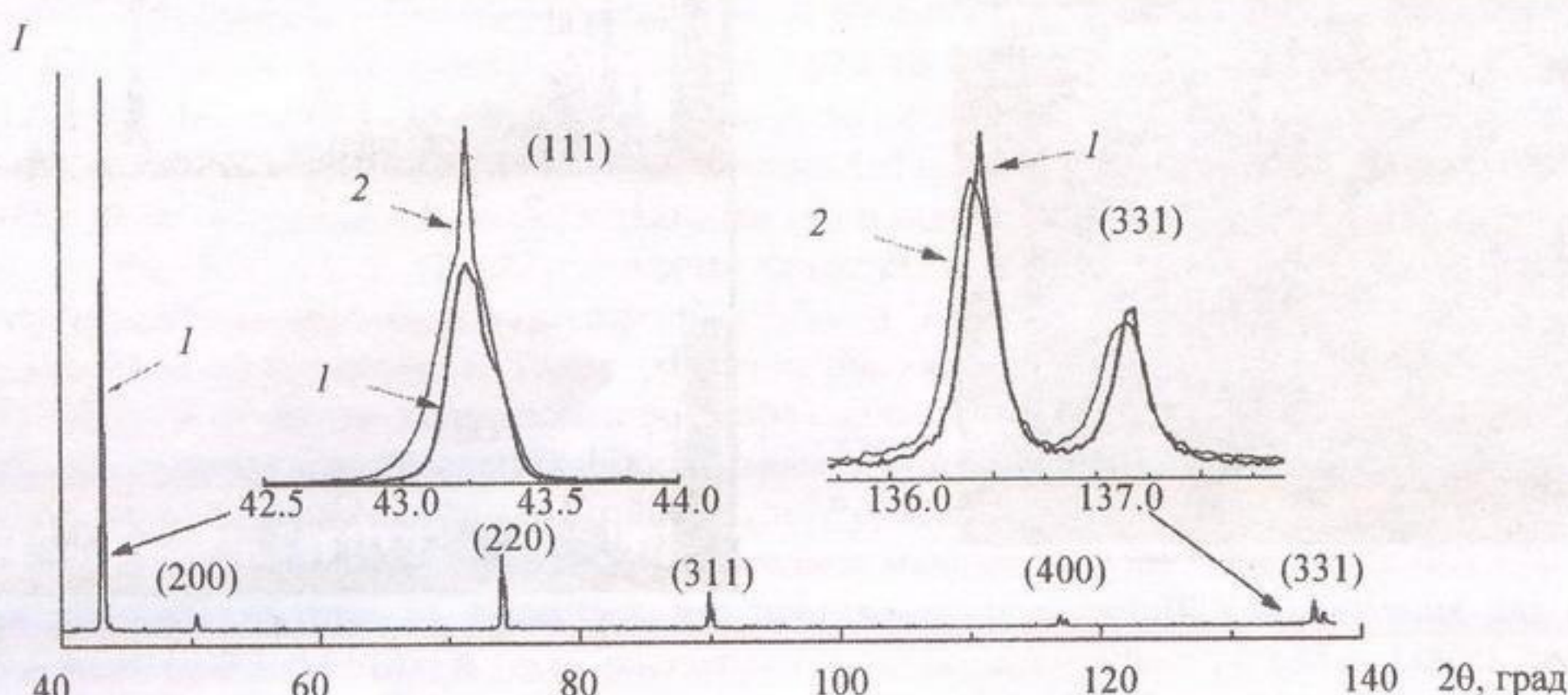


Рис. 1. Рентгенограммы микропорошков сВН (1) и сВН:Gd (2)

$\sim 3 \cdot 10^{18}$  ат/см<sup>3</sup> и внедренные примесные атомы Eu распределены однородно по объему кристалла [7]. Следует отметить, что концентрация атомов Eu в кристаллической матрице cBN  $\sim 3 \cdot 10^{18}$  ат/см<sup>3</sup> согласуется с пределом растворимости РЗ ионов в других полупроводниковых матрицах. Например, растворимость Ег в кремнии  $\sim 1 \cdot 10^{18}$  ат/см<sup>3</sup> [11] и  $\sim 5 \cdot 10^{18}$  ат/см<sup>3</sup> в GaAs [12]. С учетом того что элементарная ячейка cBN содержит восемь атомов, а постоянная решетки  $a = 3.5150$  Å, количество атомов основного вещества в выделенном объеме составляет  $\sim 1.7 \cdot 10^{23}$  ат/см<sup>3</sup>. По данным [7], концентрация Eu в cBN  $\sim 3 \cdot 10^{18}$  ат/см<sup>3</sup>, что соответствует соотношению концентрации примесных атомов Eu и атомов основного вещества  $\sim 1.8 \cdot 10^{-5}$  ат/см<sup>3</sup>, т. е. около 0.00002 ат. %. Такие малые концентрации примесных атомов РЗ элементов в cBN:Gd не могут быть обнаружены с использованием рентгеновской дифракции, поскольку они на несколько порядков меньше оцененного предела обнаружительной способности данного метода. В работе [13] отмечено, что определение дополнительных фаз и примесных комплексов с использованием рентгенодифракционного метода возможно при их содержании на уровне 6—7 мас. %. В дополнение к этому многочисленные эксперименты по определению фазового состава смеси микропорошков полупроводниковых соединений показали, что предел обнаружительной способности метода рентгеновской дифракции  $\sim 1$  мас. % [14]. На основании этого можно утверждать, что рентгенодифракционный метод может быть использован только для анализа фазового состава микропорошка cBN:Gd, а не для подтверждения факта вхождения РЗ ионов в матрицу cBN, как предполагалось ранее [15]. Отсутствие значительных изменений углового положения основных дифракционных линий микропорошков cBN и cBN:Gd указывает на то, что добавление в реакционную шихту соединения GdF<sub>3</sub> в количестве  $<10$  мас. % не влияет на структурные свойства синтезированного микропорошка cBN:Gd.

На рис. 2 приведены результаты анализа морфологии поверхности и химического состава микропорошков cBN:Gd, выполненные с использованием электронно-зондового микроанализа с диаметром электронного пучка  $\sim 0.1$  мкм на сканирующем электронном микроскопе. Микропорошки имели светло-желтый цвет и размеры зерен  $\sim 0.3$ —5 мкм. Из рис. 2, а видно, что зерна имеют различные форму и структуру. При микроскопическом анализе морфологии наиболее крупных зерен установлено, что они не являются гомогенными и на поверхности некоторых из них видны микротрешины, механические микровключения, спеки и т. п. Наиболее отчетливо это видно на вставке рис. 2, а, где в увеличенном масштабе показан фрагмент состояния поверхности одного из наиболее крупных анализируемых зерен, указывающий на наличие механических микровключений, микронаростов и спеков микрокристаллитов. Эксперименты показали, что распределение этих включений очень неоднородно и, как правило, их размеры значительно различаются, достигая доли микрона. В качестве примера на рис. 2, б представлены результаты локально-го электрозондового микроанализа, проведенного с целью определения элементного состава микропорошков cBN:Gd. При проведении химического анализа исследовалось до 10 наиболее крупных зерен размером  $\sim 5$  мкм в пяти различных точках на поверхности каждого. На рис. 2, б приведены два спектра эмиссии характеристического (отдельные пики в области до 7.5 кэВ) и тормозного (фонового) рентгеновского излучения (сплошной фон в области 0.5—5 кэВ), снятые с двух разных точек одного зерна. Как видно,

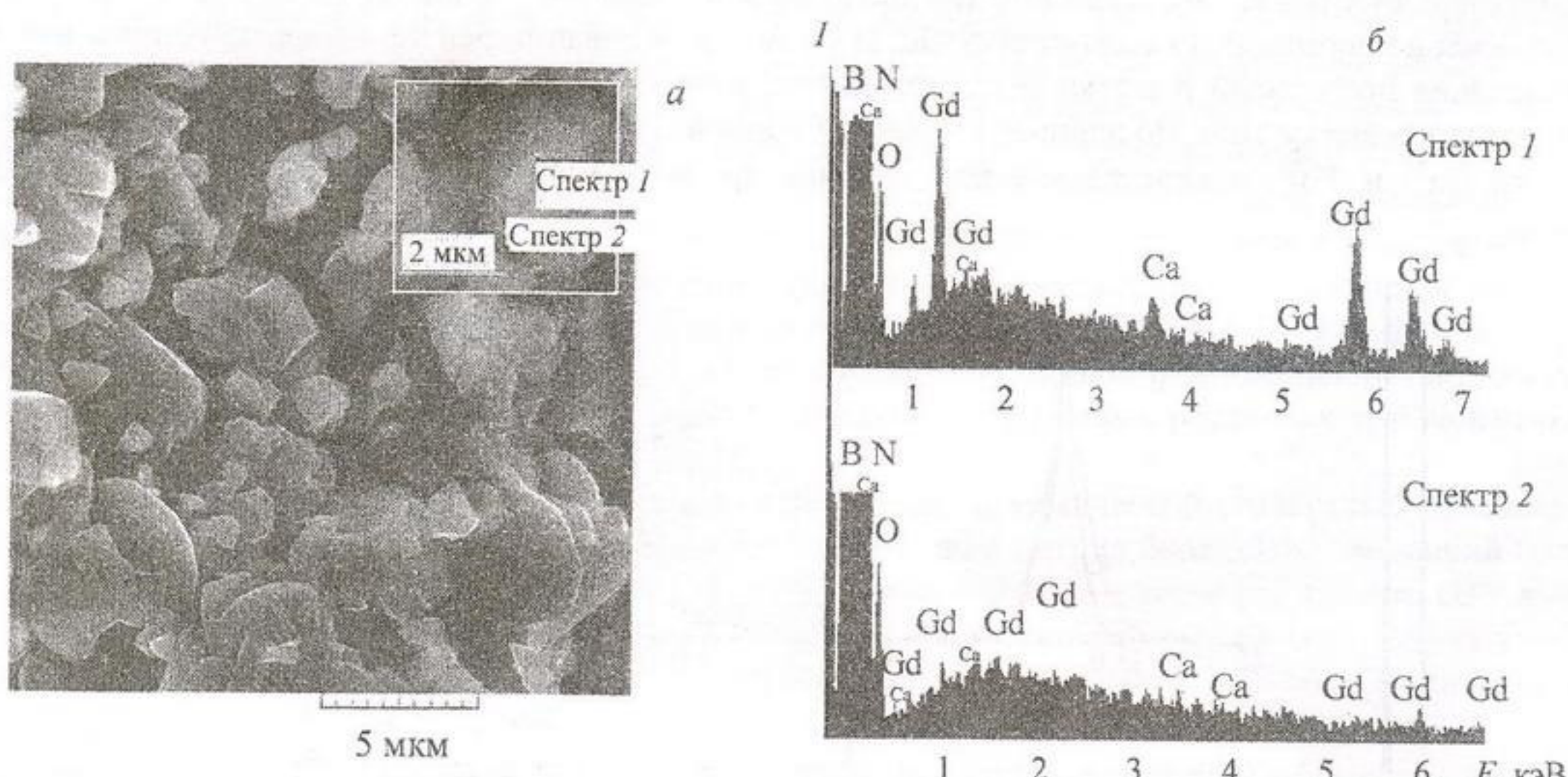


Рис. 2. Электронно-микроскопическое изображение микропорошков cBN:Gd (а), спектры 1 и 2 рентгеновского излучения (б)

спектры I и 2 значительно различаются, что свидетельствует о различном элементном составе анализируемых областей одного и того же зерна. Пики характеристического рентгеновского излучения имеют разную интенсивность, и они обусловлены переходами электронов внешних и внутренних оболочек атомов B, N, O, C, Ca и Gd. Так, для спектра 2 интенсивность пиков от элементов Gd и Ca практически сопоставима с интенсивностью тормозного излучения, что обусловлено взаимодействием электронов падающего пучка с электрическим полем атомов матрицы. Для спектра I характерно наличие более интенсивных пиков от атомов Gd и Ca, что обусловлено наличием дополнительных образований на поверхности зерна. Эксперименты показали, что на поверхности отдельных зерен содержатся образования размерами  $\sim 0.1$ — $0.3$  мкм с повышенной концентрацией Gd, дающего более интенсивные характеристические пики в областях 0.9, 1.2, 1.4, 6.0 кэВ и т. д. (рис. 2, б, спектр I). Согласно рентгеноспектральному микроанализу, на поверхности зерен сВН:Gd формируются Gd-содержащие тонкопленочные образования толщиной  $\leq 10$  нм. Помимо этого в микропорошках сВН:Gd обнаружено присутствие технологических примесей (O, C, Ca), обычно содержащихся в реакционной шихте и оснастке. Известно, что рентгеноспектральный микроанализ позволяет проводить точное определение элементного состава материалов при содержании  $\geq 0.5$  мас. % для элементов от натрия до урана [16]. Точный количественный анализ элементов Ca и Gd невозможен, так как их содержание  $< 0.5$  мас. % и ошибка определения концентрации в этом случае может составлять  $\sim 100$  %. Количественное определение легких элементов B, N, C и O с помощью рентгеноспектрального микроанализа также невозможно. Наиболее вероятно, что Gd-содержащие микровключения на поверхности зерен представляют собой оксид  $Gd_2O_3$ , сформировавшийся в процессе синтеза микропорошков сВН:Gd в условиях высоких давлений и температур. Не исключено, что тонкопленочные образования на поверхности отдельных зерен могут представлять собой GdN или  $GdB_6$ . Кроме того, определенная часть атомов Gd может быть инкорпорирована в структуру отдельных зерен сВН. В общем из экспериментальных данных можно сделать вывод о синтезе микропорошка сВН:Gd, отдельные зерна которого содержат включения и нанопленки на поверхности, обогащенные атомами Gd.

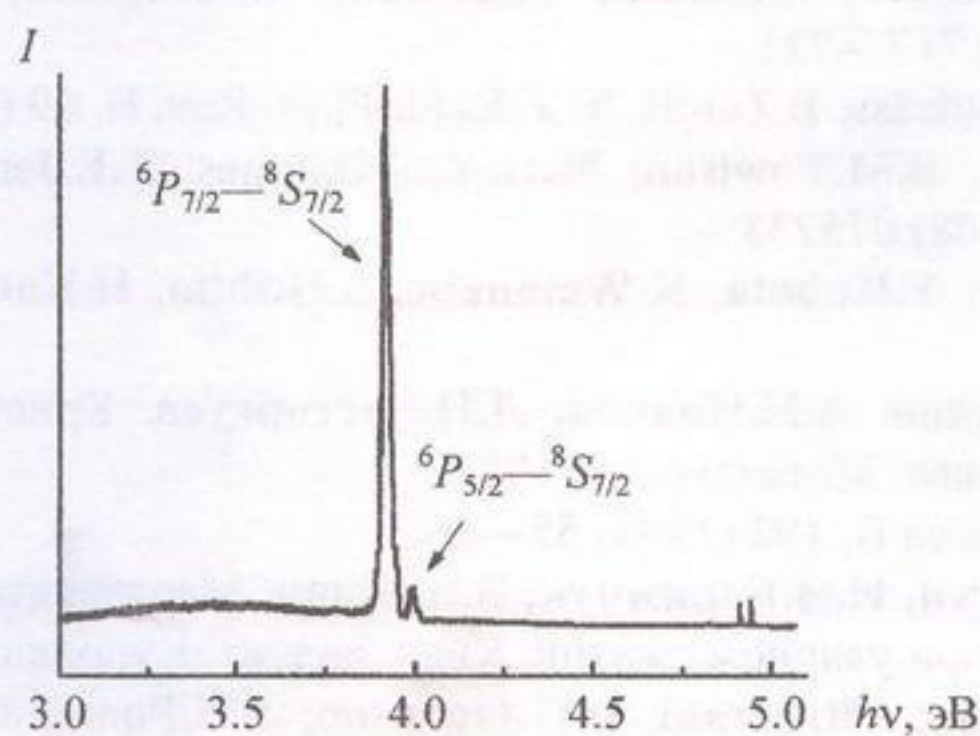


Рис. 3. Спектр фотolumинесценции микропорошка сВН:Gd,  $E_{\text{возб}} = 5.08$  эВ

На рис. 3 представлен спектр ФЛ микропорошка сВН:Gd, зарегистрированный при возбуждении излучением аргонового лазера ( $\lambda = 244$  нм) мощностью  $\sim 1$  Вт/см<sup>2</sup>. В спектре ФЛ при комнатной температуре присутствуют две полосы с максимумами в областях 3.918 эВ (316.4 нм) и 3.995 эВ (310.3 нм) и полушириной  $\sim 26$  и 21 мэВ. На основании известных данных по легированию различных материалов (полупроводников, стекол, широкозонных оксидов и т. д.) ионами Gd вышеупомянутые полосы могут быть отнесены к электронным переходам между возбужденными ( $P$ ) и основным ( $S$ ) состояниями трехвалентных ионов  $^6P_{7/2} \rightarrow ^8S_{7/2}$  и  $^6P_{5/2} \rightarrow ^8S_{7/2}$  [3, 5, 17—22]. В случае качественных монокристаллов и пленок наблюдается четырех- и трехкратное расщепление возбужденных  $^6P_{7/2}$ - и  $^6P_{5/2}$ -состояний, соответственно, за счет влияния кристаллического поля матрицы. Такое расщепление характерно для AlN:Gd [3, 5], LaF<sub>3</sub>:Gd [18], LiYF<sub>3</sub>:Gd [19], когда в спектрах люминесценции наблюдались четыре и три узкие линии полушириной  $\sim 0.2$ — $0.4$  мэВ, отнесенные к возбужденным состояниям  $^6P_{7/2}$  и  $^6P_{5/2}$ . Общая величина расщепления возбужденных состояний в спектрах люминесценции  $^6P_{7/2}$  и  $^6P_{5/2}$  для вышеперечисленных соединений составила  $\sim 7$ — $9.5$  и  $5$ — $7.5$  мэВ. Такие расщепления значительно меньше полуширинны полос ФЛ  $\sim 26$  и 21 мэВ, наблюдавшихся для сВН:Gd (рис. 3). Известно, что предсказанная величина расщепления для основного состояния  $^8S_{7/2}$  меньше 0.3 см<sup>-1</sup> [23] и такое расщепление экспериментально не наблюдалось даже для ионов Gd<sup>3+</sup>, имплантированных в высококачественные пленки AlN [5]. Поэтому в наших экспериментах расщепление основного состояния  $^8S_{7/2}$  не учитывалось. Полосы ФЛ, сопоставимые по полуширине для

переходов с  $^6P_{7/2}$  и  $^6P_{5/2}$  в cBN:Gd, наблюдалась лишь для боратных стекол [22] и силиката иттрия [17]. Значительная полуширина полос для электронных переходов  $^6P_{7/2} \rightarrow ^8S_{7/2}$  и  $^6P_{5/2} \rightarrow ^8S_{7/2}$  может быть обусловлена суперпозицией излучения от нескольких источников: Gd-содержащих включений на поверхности зерен, тонкопленочных образований ( $\sim 10$  нм), формирующихся на микрокристаллитах cBN:Gd, а также ионов  $Gd^{3+}$ , входящих в кристаллическую решетку cBN:Gd. Выделить вклад в оптические сигналы ионов  $Gd^{3+}$  от отдельных источников не представляется возможным. С учетом относительно высокой интенсивности люминесценции микропорошка cBN:Gd целесообразно дальнейшее совершенствование технологии получения cBN:Gd с более крупными зернами ( $\sim 100$  мкм), что позволило бы более достоверно оценить степень вхождения РЗ ионов в кристаллическую матрицу.

**Заключение.** В условиях высоких давлений и температур на основе микропорошка гексагонального нитрида бора и катализатора  $Li_3N$  получены микропорошки кубического нитрида бора cBN. Микропорошки cBN:Gd получены при добавлении в реакционную шихту фторида гадолиния  $GdF_3$ . Согласно результатам рентгенодифракционного анализа, микропорошки обоих типов имеют кубическую структуру с постоянной решетки  $a = 3.615$  Å. Рентгеноспектральный микроанализ показал наличие на поверхности зерен включений и тонкопленочных образований, обогащенных Gd-содержащими соединениями. Кроме того, люминесценция в областях  $\sim 3.918$  эВ (316.4 нм) и  $3.995$  эВ (310.3 нм) обусловлена в большей степени обогащенными ионами  $Gd^{3+}$  соединениями и образованиями. Подтверждением этого является относительно большая полуширина соответствующих линий фотoluminesценции.

- [1] S.C.Jain, M.Willander, J.Narayan, R. Van Overstraeten. *J. Appl. Phys.*, **87** (2000) 965—1006
- [2] T.Onuma, S.F.Chichibu, T.Sota, K.Asai, S.Sumiya, T.Shibata, M.Tanaka. *Appl. Phys. Lett.*, **81** (2002) 652—654
- [3] U.Vetter, J.Zenneck, H.Hofsäss. *Appl. Phys. Lett.*, **83**, N 11 (2003) 2145—2147
- [4] S.W.Choi, S.Emura, S.Kimura, M.S.Kim, Y.K.Shon, N.Teraguchi, A.Suzuki, A.Vanase, H.Asahi. *J. Alloys Compound.*, **408** (2006) 717—721
- [5] J.B.Gruber, U.Vetter, H.Hofsäss, B.Zandi, M.F.Reid. *Phys. Rev. B*, **69** (2004) 195201—195207
- [6] D.A.Evans, A.G.McGlynn, B.M.Towlson, M.Gunn, D.Jones, T.E.Jenkins, R.Winter, N.R.J.Poolton. *J. Phys.: Condens. Matter*, **20** (2008) 075233
- [7] A.Nakayama, T.Taniguchi, Y.Kubota, K.Watanabe, S.Hishita, H.Kanda. *Appl. Phys. Lett.*, **87** (2005) 211913—211916
- [8] Я.С.Уманский, Ю.А.Скаков, А.Н.Иванов, Л.Н.Расторгуев. Кристаллография, рентгенография и электронная микроскопия, Москва, Металлургия (1982)
- [9] J.Rodriguez-Carvajal. *Physica B*, **192** (1993) 55—58
- [10] А.В.Курдюмов, В.Ф.Бритун, Н.И.Боримчук, В.В.Ярош. Мартенситные и диффузионные превращения в углероде и нитриде бора при ударном сжатии, Киев, изд-во “Куприянова О.О.” (2005)
- [11] D.J.Eaglesham, J.Michel, E.A.Fitzgerald, D.C.Jacobson, J.M.Poate, J.L.Benton, A.Polman, Y.-H.Xie, L.C.Kimerling. *Appl. Phys. Lett.*, **58** (1991) 2797—2799
- [12] A.Taguchi, M.Kawashima, K.Takahei, Y.Horikoshi. *Appl. Phys. Lett.*, **63** (1993) 1074—1076
- [13] J.A.Aitken, G.M.Tsoi, L.E.Wenger, S.L.Brock. *Chem. Matter*, **19** (2007) 5272—5278
- [14] I.C.Madsen, N.V.Y.Scarlet, L.M.D.Cranswick, T.Lwin. *J. Appl Cryst.*, **34** (2001) 409—426
- [15] Е.М.Шишонок, С.В.Леончик, А.В.Пыск, С.В.Паршутич. Сб. докл. междунар. науч. конф. “Актуальные проблемы физики твердого тела”, 20—23 октября 2009 г., в 3 т., 1, Минск, издат. центр БГУ (2009) 308—311
- [16] В.В.Козлов. Сб. докл. междунар. науч. конф. “Перспективные технологии, оборудование и системы для материаловедения и наноматериалов”, 24—25 июня 2008 г., Москва, Интерконтакт Наука (2008) 106—122
- [17] E.J.Bosze, G.A.Hirata, L.E.Shea-Rohwer, J.McKittrick. *J. Lumin.*, **104** (2003) 47—54
- [18] H.H.Caspers, S.A.Miller, H.E.Rast, J.L.Fry. *Phys. Rev.*, **180** (1969) 329—333
- [19] R.T.Wegh, H.Donker, A.Meijerink. *Phys. Rev. B*, **56** (1997) 13841—13846
- [20] H.Kondo, T.Hirai, S.Hashimoto. *J. Lumin.*, **94** (2001) 311—315
- [21] T.Lo, V.N.Makhov, N.M.Khaidukov, J.C.Krupa. *J. Lumin.*, **119** (2006) 28—32
- [22] J.W.M.Verwey, G.F.Imbusch, G.Blasse. *J. Phys. Chem. Solids*, **50** (1989) 813—820
- [23] G.H.Dieke. *Spectra and Energy Levels of Rare-Earth Ions in Crystal*, New York, Wiley-Int. (1968)